



Original Article

An efficient method for applying distributed loads on curved surfaces in isogeometric analysis

Morteza Barati¹, Farzad Shahabian ¹*and Behrooz Hassani²

1- Department of Civil Engineering, Ferdowsi University of Mashhad, Mashhad, Iran

2- Department of Mechanical Engineering, Ferdowsi University of Mashhad, Mashhad, Iran

Abstract: The isogeometric method was introduced to bridge the gap between computer-aided design (CAD) and analysis. This method offers advantages such as precise geometric modeling, suitable refinement methods, easy access to higher-order functions, and higher computational accuracy. The aim of this research is to provide an efficient method for applying the distributed loads on curved surfaces in isogeometric analysis. One of the main challenges in this method is how to apply boundary conditions on complex geometries. In curved models, some control points may not lie on the geometry, leading to ambiguity in the distribution of loads on these points. This study uses NURBS functions, which are standard non-interpolatory functions in CAD systems, to approximate the solution space and describe the geometry. Additionally, to leverage the capabilities of CAD tools, the process of importing geometries created in Rhino into isogeometric analysis using Bézier extraction is explained. The results confirm the accuracy and efficiency of the proposed method.

Keywords: Isogeometric Method, NURBS, Distributed Loads, Curved Surfaces, Bézier Extraction.

Received: Jul. 07, 2024; Revised: Sep. 2, 2024; Accepted: Oct. 15, 2024; Published Online: Mar. 12, 2025.

* Corresponding Author: shahabf@um.ac.ir

How to Cite: Barati Morteza, Shahabian Farzad and Hassani Behrooz, An efficient method for applying distributed loads on curved surfaces in isogeometric analysis, Journal of Computational Methods in Engineering; 2025, 43(2), 107-125; DOI: 10.47176/jcme.43.2.1035.



Copyright © 2025 Isfahan University of Technology, Published by Isfahan University of Technology press. This work is licensed under a Creative Commons Attribution-Noncommercial 4.0 International license (<https://creativecommons.org/licenses/by-nc/4.0/>). Non-commercial uses of the work are permitted, provided the original work is properly cited.



مقاله پژوهشی

ارائه روشی کارآمد برای اعمال بار گسترده بر سطوح دارای انحنا در تحلیل هم‌هندسی

مرتضی براتی^۱، فرزاد شهریان^{۱*} و بهروز حسنی^۲

۱- گروه مهندسی عمران، دانشگاه فردوسی مشهد

۲- گروه مهندسی مکانیک، دانشگاه فردوسی مشهد

چکیده- روش تحلیل هم‌هندسی با هدف کاهش فاصله بین تحلیل و طراحی به کمک رایانه معرفی شده است. این روش دارای مزایایی

همچون مدل‌سازی دقیق هندسه، روش‌های بهبودسازی مناسب، راحتی دستیابی به توابع مرتبه بالا و دقت بالاتر در محاسبات است. هدف این پژوهش، ارائه روشی کارآمد برای اعمال بارهای گسترده بر سطوح دارای انحنا در تحلیل هم‌هندسی است. یکی از چالش‌های اصلی در این روش، نحوه اعمال شرایط مرزی بر روی هندسه‌های پیچیده است. در مدل‌های دارای انحنا، برخی از نقاط کنترلی روی هندسه قرار نمی‌گیرند که موجب ابهام در توزیع بار روی این نقاط می‌شود. در این پژوهش، از توابع نریز که توابعی غیردرونیاب و استاندارد در سامانه‌های طراحی رایانه‌ای هستند، برای تقریب فضای حل و توصیف هندسه استفاده شده است. همچنین، به منظور استفاده از قابلیت‌های ابزارهای طراحی به کمک رایانه، نحوه وارد کردن هندسه‌های ایجاد شده در نرمافزار راینو به تحلیل هم‌هندسی با استفاده از فرآیند استخراج بزیه توضیح داده می‌شود. نتایج بدست آمده، صحت و کارآیی روش پیشنهادی را تأیید می‌کنند.

واژه‌های کلیدی: روش هم‌هندسی، توابع نریز، بار گسترده، سطوح دارای انحنا، استخراج بزیه.

دریافت مقاله: ۱۴۰۳/۰۶/۱۲، بازنگری: ۱۴۰۳/۰۶/۱۲، پذیرش: ۱۴۰۳/۰۷/۲۴، اولین انتشار: ۱۴۰۳/۱۲/۲۲

*: نویسنده مسئول، رایانامه: shahabf@um.ac.ir



فهرست علامت

نقاط کنترل بزیه	P^b	تابع پایه برنشتاین	B_i
شدت بار	\bar{q}	نیروی حجمی	b
تابع پایه نربز	R_i	ماتریس ضرایب بزیه	C
سطح بی-اسپلین و نربز	$S(\xi, \eta)$	منحنی بزیه	$C(t)$
نیروی سطحی	\bar{t}	منحنی بی-اسپلین و نربز	$C(\xi)$
تغییر مکان	u	بردار تغییر مکان	$\{d\}$
بردار عمود بر سطح	v_n	ماتریس تنش-کرنش	D
بردار مماس بر سطح	v_t	بردار یکه عمود	e_n
وزن نقاط کنترل	w_i	ضریب کشسانی	E
مرز فیزیکی	Γ	بردار نیرو	$\{F\}$
مختصه فضای پارامتری	ξ و η	ماتریس ژاکوبین	J
بردار گرهی	Ξ و \mathcal{H}	ماتریس سختی	$[K]$
ضریب پواسون	ν	عملگر دیفرانسیلی	L
تانسور تنش	σ	مرتبه تابع برنشتاین	n
دامنه فضای فیزیکی	Ω	تابع پایه نربز در هر راستا	M و N
دامنه فضای پارامتری	$\bar{\Omega}$	مرتبه تابع پایه بی-اسپلین و نربز	q و p
دامنه فضای مرجع	$\hat{\Omega}$	نقاط کنترل بی-اسپلین و نربز	P

آن‌ها برای تقریب هندسه معلوم نیز استفاده می‌گردد. تحلیل هم‌هندسی این شیوه را معکوس می‌کند به طوری که یک تابع پایه که قادر است به صورت دقیق هندسه معلوم را نمایش دهد، انتخاب می‌شود و آن را به عنوان پایه برای تقریب میدان حل استفاده می‌کند. با توجه به این که این روش به طور همزمان از مزایای روش اجزای محدود و شیوه‌های تولید هندسه بهره‌مند است، بنابراین به عنوان یک جایگزین کارآمد و مطلوب برای روش اجزای محدود مطرح شده است. روش تحلیل هم‌هندسی در زمینه‌های مختلفی از جمله در مسائل کشسان [۲، ۳]، الکترومغناطیس [۴]، تماس [۵]، سیالات [۶] و اندرکنش سیال-سازه [۷، ۸] به کار گرفته شده و عملکرد مناسبی از خود نشان داده است.

یکی از اهداف اصلی تحلیل هم‌هندسی، ترکیب مراحل طراحی و تحلیل است به طوری که ایده طراحی هندسی و تحلیل عددی، هم‌زمان در یک بسته نرم‌افزاری میسر گردد [۱، ۹]. با توجه به این که تحلیل هم‌هندسی مانند بسیاری از ابزارهای طراحی به کمک رایانه از توابع نربز برای توصیف هندسه استفاده

امروزه بسیاری از مسائل در زمینه‌های مختلف علوم و مهندسی توسط معادلات جبری یا دیفرانسیلی بیان می‌گردند. از آن جایی که تنها موارد معده‌دی از این معادله‌ها را می‌توان مستقیماً با روش‌های تحلیلی حل نمود، شیوه‌های عددی زیادی برای حل چنین معادلاتی وجود دارد. یکی از روش‌های عددی که در سال‌های اخیر برای حل مسائل مهندسی مورد استفاده قرار گرفته است، تحلیل هم‌هندسی^۱ است. انگیزه انجام نخستین فعالیت‌ها در زمینه تحلیل هم‌هندسی بر طرف کردن فاصله موجود بین تحلیل اجزای محدود^۲ و مدل‌سازی با استفاده از رایانه^۳ بوده است [۱]. یکی از مزایای برجسته این روش، امکان مدل‌سازی دقیق هندسه سازه است که باعث حذف خطاهای ناشی از تقریب هندسی می‌شود. ایده اصلی تحلیل هم‌هندسی بهره‌گیری از توابع پایه استفاده شده در توصیف دقیق هندسه برای تقریب میدان حل است. تفاوت بنیادی بین تحلیل هم‌هندسی و تحلیل اجزای محدود این است که در روش اجزای محدود توابع پایه برای تقریب میدان‌های تحلیل نامعلوم انتخاب می‌شوند و سپس از

۱- مقدمه

رابطه‌سازی و الگوسازی این گونه سازه‌ها، پژوهشگران و مهندسان به بررسی این موضوع پرداخته‌اند و مطالعه رفتار این سازه‌ها از جنبه عملی دارای اهمیت ویژه است.

با وجود تلاش‌های صورت گرفته در زمینه تحلیل هم‌هندسی در سال‌های اخیر، هنوز برخی از جنبه‌های آن دارای ابهام است و نیاز به پژوهش‌های بیشتر دارد. توابع نزیب از مجموعه‌ای از نقاط کترولی^۹ که بر روی یک چندضلعی قرار می‌گیرند، تشکیل می‌گردد. با توجه به این‌که نقاط کترولی ممکن است بر روی هندسه سازه، قرار نگیرند، از این رو نحوه توزیع بارها بین این نقاط در هندسه‌های تحلیلی دارای ابهام است. در برخی منابع روش‌هایی برای اعمال بار در روش تحلیل هم‌هندسی ارائه شده است [۱۶-۱۹]. در این راستا و در پژوهش حاضر روشی برای اعمال بار گستردۀ بر روی سطوح دارای انحنا در تحلیل هم‌هندسی ارائه می‌گردد. برای این کار، ابتدا توابع بزیه، بی-اسپلاین و نزیب به عنوان توابع پایه روش هم‌هندسی معرفی می‌شوند سپس نحوه مدل‌سازی هندسه‌های پیچیده و نحوه تبدیل آن به عنوان اطلاعات ورودی برای تحلیل هم‌هندسی شرح داده می‌شود. در ادامه چارچوب کلی تحلیل هم‌هندسی مبتنی بر توابع نزیب تشریح می‌گردد و سپس روش اعمال بار گستردۀ و رابطه‌سازی مربوط به آن ارائه می‌شود. در پایان با ارائه چند مثال عددی، دقت روش پیشنهادی مورد بررسی قرار می‌گیرد.

۲- توابع بزیه و بی-اسپلاین

مبنای ریاضی منحنی‌های بزیه، چندجمله‌ای‌های برنشتاین^۷ هستند. یک منحنی بزیه از مرتبه p به صورت ترکیب خطی از $p+1$ تابع پایه برنشتاین تعریف می‌شود. از مزایای اصلی توابع بزیه تعریف ساده و استفاده آسان از آن‌ها است. به لحاظ ریاضی یک منحنی بزیه به صورت رابطه (۱) تعریف می‌گردد [۲۰].

$$C(t) = \sum_{i=0}^n B_{n,i}(t) P_i^b \quad 0 \leq t \leq 1 \quad (1)$$

که در آن (t) ، $B_{n,i}$ ، n مین تابع پایه برنشتاین از مرتبه n است و از رابطه زیر بدست می‌آید.

می‌کند، مدل‌های ساخته شده در این ابزارها را می‌توان به صورت صریح در تحلیل هم‌هندسی به کار برد.

اکثر نرم‌افزارهای تجاری مهندسی به کمک رایانه به روش اجزای محدود پیاده‌سازی شده‌اند و روش هم‌هندسی را پشتیبانی نمی‌کنند؛ بنابراین نیاز به یک بستر نرم‌افزاری در این زمینه الزامی است. در همین راستا برخی از کدها و برنامه‌های منبع‌باز توسعه یافته‌اند. هسو و همکاران [۱۰] یک نرم‌افزار تعاملی طراحی- تحلیل برای سازه‌های پوسته‌ای بر اساس نرم‌افزار تجاری راینو توسعه دادند، اما در روش آن‌ها مدل‌های سه‌بعدی قابل تحلیل نیستند. لای و همکاران [۱۱، ۱۲] یک روش برای ادغام تحلیل هم‌هندسی با نرم‌افزارهای تجاری اجزای محدودی ارائه کردند. آن‌ها با افزودن یک زیرنامه به نرم‌افزار آباکوس^۴ امکان تحلیل مدل‌های اولیه که توسط توابع تی-اسپلاین در نرم‌افزار راینو ایجاد شده را فراهم کردند. لای و همکاران [۱۳] یک نرم‌افزار تجاری برای تحلیل سازه‌های هیدرولیکی فراهم کردند. نرم‌افزار معرفی شده توسط ایشان امکان مدل‌سازی هندسی و تحلیل را برای سازه‌های هیدرولیکی در یک بستر نرم‌افزاری فراهم کرده است. با این حال، کدها یا برنامه‌های ارائه شده توسط پژوهشگران پاسخگوی خواسته‌های عملی مهندسان نیستند. از جمله مهم‌ترین دلایل آن عبارت است از:

الف- عدم امکان ادغام مدل‌سازی هندسی و تحلیل عددی در یک نرم‌افزار.

ب- عدم وجود توانایی تحلیل خودکار برای سازه‌های سه‌بعدی.

ج- عدم پیاده‌سازی رابط کاربر گرافیکی برای مدل‌سازی. تبدیل مدل‌های ساخته شده در ابزارهای طراحی رایانه‌ای برای استفاده در یک تحلیل گر روش هم‌هندسی، از طریق عملگر استخراج بزیه^۵ فراهم می‌شود. در این پژوهش، رابطه‌سازی این فرآیند ارائه می‌گردد که با استفاده از آن امکان ساخت مدل‌های هندسی با شکل آزاد برای تحلیل هم‌هندسی به وجود می‌آید. شکل‌های آزاد هندسی به دلیل زیبایی بصری که دارند بسیار مورد توجه طراحان صنعتی و معماران قرار می‌گیرند [۱۴، ۱۵]. به دلیل پیچیدگی‌های

می شود و تعداد اجزا در شبکه افزایش می یابد. این فرآیند درجه توابع پایه را تغییر نمی دهد بلکه تعداد نقاط کنترل را افزایش می دهد. با وارد کردن گره، هیچ تغییری در شکل هندسی و پارامتری داده نمی شود، اما تعداد نقاط کنترل و توابع پایه افزایش می یابد. برای حفظ این ویژگی، لازم است نقاط کنترل به روشی خاص انتخاب شوند.

اگر $\{\xi_{n+p+1}, \dots, \xi_2, \xi_1\} = \Xi$ بردار گرهی داده شده باشد، وارد کردن گره به بردار گرهی، به طوری که $(\xi_{k+1}, \dots, \xi_k) \in \Xi$ و $k > p$ باشد، باعث به وجود آمدن یک تابع پایه جدید و متناظر با آن یک نقطه کنترل جدید می شود. قابل توجه است که همه توابع پایه قدیمی باید مجلد تعریف شوند (مطابق رابطه های (۴) و (۵)). نقطه کنترل جدید مطابق رابطه زیر بدست می آید [۲۳].

$$\bar{P}_i = \begin{cases} P_i & i=1 \\ \alpha_i P_i + (1-\alpha_i) P_{i-1} & 1 < i < m \\ P_n & i=m \end{cases} \quad (5)$$

که ضریب α_i مطابق رابطه زیر محاسبه می گردد.

$$\alpha_i = \begin{cases} 1 & i \leq k-p \\ \frac{\xi_i - \xi_j}{\xi_{i+p} - \xi_j} & k-p+1 < i < k \\ 0 & i \geq k+1 \end{cases} \quad (6)$$

۴- توابع نریز

تابع نریز یک مدل ریاضی است که معمولاً در گرافیک رایانه‌ای کاربرد دارد و به منظور ایجاد و نمایش منحنی‌ها و سطوح استفاده می شود. به کمک نریزها می‌توان دسته وسیعی از مدل‌های هندسی را که پیش از این امکان ساخت آن‌ها به وسیله بسیاری از چند جمله‌ای‌های حاضر در طراحی مهندسی وجود نداشته است، نمایش داد [۱]. یک منحنی نریز با مرتبه، مجموعه نقاط کنترلی، وزن مربوط به هر یک از نقاط و بردار گرهی مشخص می‌شود. منحنی‌ها و سطوح نریز حالت تعیین یافته بی‌اسپلاین‌ها می‌باشند که تفاوت اصلی آن با بی‌اسپلاین‌ها در نسبت دادن وزن به نقاط کنترلی است. توابع پایه نریز از رابطه زیر بدست می‌آیند [۱].

$$B_{n,i}(t) = \binom{n}{i} t^i (1-t)^{n-i} \quad (0)^{\circ} \equiv 1 \quad (2)$$

$$\binom{n}{i} = \frac{n!}{i!(n-i)!} \quad 1^{\circ} \equiv 1 \quad (3)$$

در رابطه (۱)، P_i^b نقاط کنترلی منحنی بزیه هستند. توابع بزیه با وجود کاربردهای گسترده، دارای برخی کاستی‌ها از جمله نوسانات اضافی و عدم کنترل محلی^۱ هستند که باعث می‌شود در تولید برخی از شکل‌های پیچیده و منحنی‌های با تغییرات زیاد، محدودیت‌هایی داشته باشند [۲۱].

توابع بی‌اسپلاین به منظور غلبه بر محدودیت‌های توابع بزیه توسعه یافتهند [۲۰، ۲۲]. منحنی‌های بی‌اسپلاین همانند منحنی‌های بزیه از ترکیب خطی نقاط کنترلی و توابع پایه که همان بی‌اسپلاین‌ها هستند، بر روی فضای پارامتری تعریف می‌شوند. فرض می‌گردد که $\Xi_m = [\xi_m, \dots, \xi_2, \xi_1]$ مجموعه مقادیر پارامتری متوالی غیرنرولی است که در آن $i = 1, \dots, m-1$ ، $\xi_{i+1} \leq \xi_i$ باشد. در این صورت Ξ بردار گرهی^۹ نامیده می‌شود. همچنین، ξ_i گره نام که $i = 1, \dots, n+p+1$ است، درجه بی‌اسپلاین و n تعداد توابع پایه است. توابع بی‌اسپلاین $(\xi) N_{i,p}$ از درجه p با استفاده از رابطه بازگشتنی به صورت زیر تعریف می‌شوند [۱].

$$N_{i,p}(\xi) = \begin{cases} 1 & \text{if } \xi_i \leq \xi \leq \xi_{i+1} \\ 0 & \text{otherwise} \end{cases} \quad (4)$$

همچنین برای توابع با درجه $1 \geq p$ به صورت رابطه (۵) بیان می‌شوند.

$$N_{i,p}(\xi) = \frac{\xi - \xi_i}{\xi_{i+p} - \xi_i} N_{i,p-1}(\xi) + \frac{\xi_{i+p+1} - \xi}{\xi_{i+p+1} - \xi_{i+1}} N_{i+1,p-1}(\xi) \quad (5)$$

توابع بی‌اسپلاین دارای ویژگی‌های مهمی از قبیل غیر منفی بودن^{۱۰}، پوشش محلی، بخشی از واحد بودن^{۱۱} و استقلال خطی هستند.

۳- فرآیند وارد کردن گره

وارد کردن گره شامل اضافه کردن گره‌های جدید بین گره‌های موجود است. در نتیجه جزء موجود به اجزای کوچک‌تر تقسیم

مدل‌های پیچیده بهره‌مند شوند و به طور مستقیم از این مدل‌ها در تحلیل‌های خود استفاده کنند، بدون این که نیاز به بازسازی مجدد مدل در محیط تحلیل باشد. این یکپارچگی بین مراحل طراحی و تحلیل، منجر به کاهش زمان و هزینه‌های محاسباتی می‌شود و امکان انجام تحلیل‌های دقیق‌تر و کارآمدتر را فراهم می‌کند.

یکی از چالش‌های پژوهش حاضر، تبدیل مدل‌های گرافیکی ساخته شده در نرم‌افزار راینو به اطلاعات هندسی قابل استفاده برای تحلیل‌گر^{۱۴} هم‌هندسی است. قابل توجه است که در این پژوهش از نرم‌افزار متلب به عنوان تحلیل‌گر روش هم‌هندسی استفاده می‌گردد. نرم‌افزار راینو با استفاده از افزونه^{۱۵} تی-اسپلاین یک خروجی متنی از مدل ساخته شده ارائه می‌کند که حاوی اطلاعات هندسی آن است. این اطلاعات شامل نقاط کنترل، وزن‌ها و ضرایب بزیه است. همان‌طور که اشاره شد توابع بی-اسپلاین و نربز تعیین توابع بزیه هستند و می‌توان آن‌ها را به صورت ترکیب خطی از توابع بزیه در هر دهانه تعریف کرد. ضرایب این ترکیب خطی، ضرایب بزیه هستند؛ بنابراین با داشتن این ضرایب می‌توان تابع نربز را به راحتی ایجاد کرد. فرآیند تبدیل یک تابع نربز به تابع بزیه را استخراج بزیه می‌نماید. این روش به ویژه در تحلیل هم‌هندسی اهمیت ویژه‌ای دارد زیرا با استفاده از آن می‌توان مدل‌های پیچیده هندسی را به شکلی ساده‌تر و کارآمدتر برای تحلیل‌های عددی تبدیل کرد [۲۳ و ۲۴]. با توجه به آنچه اشاره شد مراحل تبدیل مدل هندسی به داده‌های لازم برای تحلیل هم‌هندسی به صورت زیر است.

الف- ابتدا مدل هندسی مورد نظر با استفاده از ابزارهای نربز در راینو ایجاد می‌شود.

ب- مدل نربز باید به قطعات بزیه تبدیل شود. این عمل توسط افزونه تی-اسپلاین در نرم‌افزار راینو صورت می‌پذیرد.

ج- پس از تبدیل مدل به فرم بزیه، مدل می‌تواند به ابزارهای تحلیل عددی صادر شود.

د- در انتها طی یک فرآیند معکوس ضرایب بزیه تبدیل به توابع نربز می‌شوند.

$$R_i^p(\xi) = \frac{N_{i,p}(\xi) w_i}{W(\xi)} = \frac{N_{i,p}(\xi) w_i}{\sum_{i=1}^n N_{i,p}(\xi) w_i} \quad (7)$$

در این رابطه w_i وزن نقاط کنترلی است. با استفاده از توابع پایه بدست آمده از رابطه (7) و نقاط کنترلی P_i ، منحنی نربز با رابطه (8) محاسبه می‌شود.

$$C(\xi) = \sum_{i=1}^n R_i^p(\xi) P_i \quad (8)$$

توابع پایه دو متغیره نربز نیز از رابطه (9) حاصل می‌گردد.

$$R_{i,j}^{p,q}(\xi, \eta) = \frac{N_{i,p}(\xi) M_{j,q}(\eta) w_{i,j}}{\sum_{i=1}^n \sum_{j=1}^m N_{i,p}(\xi) M_{j,q}(\eta) w_{i,j}} \quad (9)$$

که در آن (ξ, η) و $N_{i,p}(\xi)$ به ترتیب توابع پایه در راستای ξ و η و از مرتبه p و q می‌باشند. همچنین یک سطح نربز به صورت رابطه (10) تعریف می‌شود [۱].

$$S(\xi, \eta) = \sum_{i=1}^n \sum_{j=1}^m R_{i,j}^{p,q}(\xi, \eta) P_{i,j} \quad (10)$$

۵- ساخت مدل هندسی پیچیده در تحلیل هم‌هندسی

امروزه در اکثر نرم‌افزارهای طراحی به کمک رایانه از ابزار نربز برای طراحی هندسه‌های پیچیده استفاده می‌شود که نسبت به سایر ابزارها دارای انعطاف‌پذیری و دقیق‌تر است. در فرآیند ساخت مدل‌های هندسی، نرم‌افزار راینو^{۱۶} یکی از ابزارهای قدرتمند و پرکاربرد است که از توابع اسپلاین و نربز برای ایجاد هندسه استفاده می‌کند. در تحلیل هم‌هندسی، هدف اصلی ادغام مراحل طراحی و تحلیل است، به طوری که مدل‌های هندسی ساخته شده در نرم‌افزارهای طراحی بتوانند مستقیم و بدون تغییرات اساسی وارد فرآیند تحلیل شوند. نرم‌افزار راینو با توانایی ایجاد مدل‌های دقیق و پیچیده با استفاده از نربز، ابزاری مناسب برای این هدف است.

برای دستیابی به این هدف، ابتدا مدل هندسی در نرم‌افزار راینو ایجاد می‌شود، سپس این مدل به شکل مناسب برای تحلیل هم‌هندسی تبدیل و وارد فرآیند تحلیل می‌شود. این روش به کاربران اجازه می‌دهد تا از دقیق‌تر و توانمندی‌های راینو در طراحی

برای محاسبه ماتریس C ، تنها بردار گرهی مورد نیاز است و این محاسبات به نقاط کنترل و توابع پایه وابسته نیست؛ بنابراین این عملگر برای بی-اسپلاین‌ها و نزیزها یکسان است. نقطه کنترل جدید مرتبط با گره اضافه شده با استفاده از رابطه زیر محاسبه می‌شود.

$$\bar{P}^{j+1} = (C^j)^T \bar{P}^j \quad (12)$$

با توجه به وارد کردن مجموعه‌ای از گره‌ها، عملگر استخراج بزیه کلی به شکل زیر تعریف می‌شود.

$$C^T = (C^m)^T (C^{m-1})^T \dots (C)^T \quad (13)$$

رابطه بین نقاط کنترل بزیه جدید و نقاط کنترل نزیز اولیه به صورت زیر بدست می‌آید.

$$P^b = C^T P \quad (14)$$

با یادآوری این که وارد کردن گره باعث هیچ تغییر هندسی و پارامتری در منحنی نمی‌شود رابطه زیر برقرار است [۲۳]

$$\begin{aligned} C(\xi) &= (P^b)^T B(\xi) = (C^T P)^T B(\xi) = P^T C B(\xi) \\ &= P^T N(\xi) \end{aligned} \quad (16)$$

که در آن $(\xi) B$ مجموعه توابع پایه برنشتاین پس از استخراج بزیه است. رابطه بین توابع پایه بی-اسپلاین و چندجمله‌ای‌های برنشتاین به صورت زیر بیان می‌گردد [۲۴].

$$N(\xi) = C B(\xi) \quad (15)$$

توجه شود که برای هندسه دو بعدی، ابعاد ماتریس P برابر با $n \times 2$ است در حالی که P^b دارای ابعاد $(n+m) \times 2$ است؛ بنابراین ابعاد C برابر با $n \times (n+m)$ خواهد بود. در اینجا، تعداد توابع پایه یا نقاط کنترل قبل از تجزیه بزیه و m تعداد گره‌های وارد شده است. برای بدست آوردن توابع پایه نزیز، تابع وزن باید به صورت رابطه (۱۸) بازنویسی شود.

$$\begin{aligned} W(\xi) &= \sum_{i=1}^n N_{i,p}(\xi) w_i = w^T N(\xi) = w^T C B(\xi) \\ &= (C^T w)^T B(\xi) = (w^b)^T B(\xi) = W^b(\xi) \end{aligned} \quad (18)$$

در ادامه فرآیند استخراج بزیه توضیح داده می‌شود.

۵-۱- استخراج بزیه

این بخش به چگونگی ساخت توابع نزیز با استفاده از توابع بزیه و عملگر استخراج بزیه می‌پردازد. بی-اسپلاین‌ها و نزیزها، بیش از یک جزء را پوشش می‌دهند در حالی که توابع پایه اجزای محدود تنها یک جزء را پوشش دهند. با محلی کردن توابع نزیز امکان پوشش دهی تنها یک جزء فراهم می‌شود. این عمل به وسیله محاسبه توابع نزیز به شکل توابع دیگر که فقط روی یک ناحیه جزء تعریف می‌شوند قابل حل است.

به وسیله انتخاب چند جمله‌ای‌های پایه برنشتاین که سازنده توابع بزیه هستند، خواسته مورد نظر برآورده می‌گردد. این عمل با روش استخراج بزیه صورت می‌پذیرد که امکان استفاده از ابزارهای استاندارد اجزای محدود را در چارچوب تحلیل هم‌هندسی آسان می‌کند. فرآیند استخراج بزیه اطمینان می‌دهد که مزایای تحلیل هم‌هندسی، مانند نمایش دقیق هندسه و پیوستگی بالاتر، حفظ می‌شوند در حالی که کارآیی محاسباتی و سازگاری با ابزارهای اجزای محدود را بهبود می‌بخشد [۲۵]. همان‌طور که اشاره شد توابع پایه نزیز از مرتبه p درون هر جزء دارای پیوستگی C^{p-k} هستند. برای تجزیه مجموعه‌ای از توابع پایه نزیز به اجزای بزیه که به آن تجزیه بزیه ξ^k گفته می‌شود مقدار گره تا زمانی که k به p برسد، تکرار می‌شوند. پس از این عمل پیوستگی تابع به C^p می‌رسد. لازم به ذکر است که تجزیه بزیه مرتبه پیوستگی توابع پایه نزیز را کاهش می‌دهد، اما پیوستگی هندسی حفظ می‌شود. فرآیند اضافه کردن گره مطابق آنچه در بخش بهبودسازی اضافه کردن گره اشاره شد انجام می‌پذیرد. عملگر استخراج یا همان ضرایب بزیه برای زمین گره وارد شده به صورت زیر بدست می‌آید [۲۳].

$$C^j = \begin{bmatrix} \alpha_1 & 1-\alpha_1 & 0 & \dots & \dots & \dots \\ 0 & \alpha_2 & 1-\alpha_2 & 0 & \dots & 0 \\ \vdots & & & \ddots & & \\ 0 & \dots & & & \alpha_{(n+j-1)} & 1-\alpha_{(n+j)} \end{bmatrix} \quad (11)$$

رابطه بین نقاط کنترل بزیه محلی و نریز محلی مانند رابطه حالت کلی آن است (رابطه (۱۹)).

$$P^{b,e} = (W^{b,e})^{-1} (C^e)^T W^e P^e \quad (23)$$

در این رابطه $W^{b,e}$ وزن‌های بزیه محلی هستند و به صورت زیر بیان می‌گردد.

$$W^{b,e} = \begin{bmatrix} w_1^{b,e} & & & \\ & w_2^{b,e} & & \\ & & \ddots & \\ & & & w_n^{b,e} \end{bmatrix}, \quad w^{b,e} = (C^e)^T w^e \quad (27)$$

عملگر استخراج دو متغیره محلی از عملگر استخراج تک متغیره تانسوری طبق رابطه زیر بدست می‌آید.

$$C^e = C_\eta^j \otimes C_\xi^i = \begin{bmatrix} C_{\eta,11}^j C_\xi^i & C_{\eta,12}^j C_\xi^i & \dots \\ C_{\eta,21}^j C_\xi^i & C_{\eta,22}^j C_\xi^i & \dots \\ \vdots & & \ddots \end{bmatrix} \quad (24)$$

که C_ξ^i و C_η^j به ترتیب i امین و j امین عملگر استخراج جزء تک متغیره در راستای ξ و η می‌باشند. در نتیجه شبکه فیزیکی بزیه به صورت رابطه (۲۵) قابل محاسبه است [۲۳].

$$C(\xi, \eta) = \frac{1}{W^b(\xi)} (W^b P^b)^T B(\xi, \eta) \quad (25)$$

شکل ۱ نگاشت از شبکه کنترلی نریز به شبکه کنترلی بزیه و در نهایت به شبکه فیزیکی بزیه را نشان می‌دهد.

۶- رابطه‌سازی تحلیل هم‌هندسی

روش هم‌هندسی و اجزای محدود از نوع روش‌های عددی حل معادلات دیفرانسیل حاکم بر رفتار یک سیستم هستند و به عنوان ابزار قدرتمند در حل مسائل مهندسی شناخته می‌شوند. این دو شیوه با وجود تفاوت‌های اصلی، شباهت‌های زیادی دارند. این روش‌ها دارای مولفه‌هایی با مفاهیم مشابه هستند به طوری که بر اساس گستره‌سازی دامنه مسئله و تبدیل معادلات دیفرانسیل جزئی به سیستم معادلات جبری استوار می‌باشند. این روش‌ها از

که $w^b = C^T w$ ، وزن‌های مرتبط با توابع پایه بزیه به صورت برداری می‌باشند. با جایگزینی رابطه (۱۵) در رابطه (۷) توابع پایه نریز با استفاده از عملگر استخراج بزیه بدست می‌آیند.

$$R(\xi) = \frac{1}{W^b(\xi)} WCB(\xi) \quad (16)$$

در این رابطه W ماتریس قطری وزن‌های نریز به صورت زیر تعریف می‌شود.

$$W = \begin{bmatrix} w_1 & & & \\ & w_2 & & \\ & & \ddots & \\ & & & w_n \end{bmatrix} \quad (17)$$

بنابراین یک منحنی نریز به صورت جزء‌های بزیه با پیوستگی C° مطابق رابطه (۱۸) بازنویسی می‌شود.

$$\begin{aligned} C(\xi) &= P^T R(\xi) = \frac{1}{W^b(\xi)} P^T WCB(\xi) \\ &= \frac{1}{W^b(\xi)} (C^T WP)^T B(\xi) \\ &= \frac{1}{W^b(\xi)} (W^b P^b)^T B(\xi) \end{aligned} \quad (18)$$

رابطه بین نقاط کنترل بزیه و نقاط کنترل نریز از معادلات (۱۶) و (۱۸) قابل نتیجه‌گیری است [۲۵].

$$P^b = (W^b)^{-1} C^T WP \quad (19)$$

با یادآوری رابطه (۷)، توابع پایه نریز پس از استخراج بزیه برای جزء e می‌توانند به صورت زیر تعریف شوند.

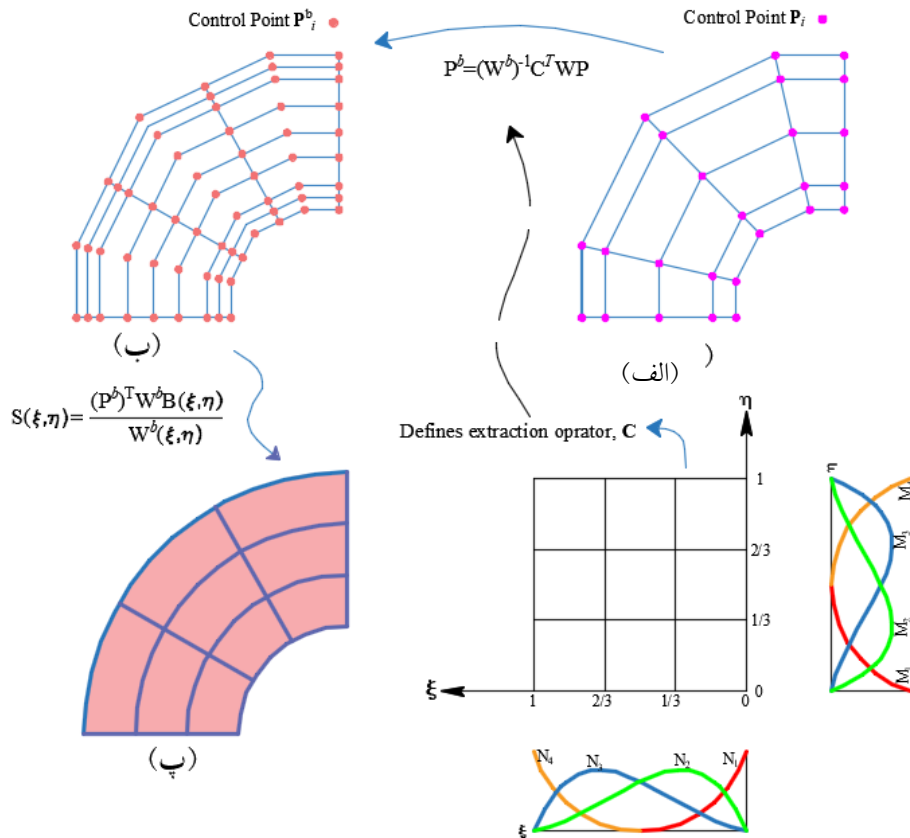
$$R^e(\xi) = \frac{W^e N^e(\xi)}{W^b(\xi)} = \frac{W^e C^e B^e(\xi)}{W^b(\xi)} \quad (20)$$

که در آن W^e ماتریس قطری وزن‌های نریز محلی است. مشتقات اول توابع شکل جزء به صورت زیر محاسبه می‌شود.

$$\frac{\partial R^e(\xi)}{\partial \xi} = W^e C^e \left[\frac{1}{W^b(\xi)} \frac{\partial B^e(\xi)}{\partial \xi} - \frac{\partial W^b(\xi)}{\partial \xi} \frac{B^e(\xi)}{(W^b(\xi))^2} \right] \quad (21)$$

همچنین مشتق تابع وزن به صورت رابطه (۲۲) بیان می‌گردد.

$$\frac{\partial W^b(\xi)}{\partial \xi} = \sum_{i=1}^{(p+1)^d} B_{i,p}(\xi) w_i^b \quad (22)$$



شکل ۱- فرآیند استخراج بزیه. الف- شبکه کنترلی نربز، ب- شبکه کنترلی بزیه و پ- شبکه فیزیکی بزیه.

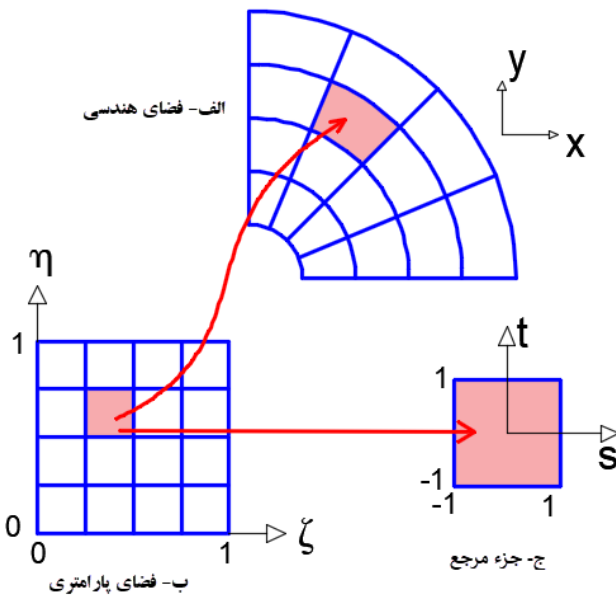
در این رابطه‌ها، σ تانسور تنش، \bar{t} نیروی سطحی b و نیروهای حجمی هستند. Γ_t بخشی از مرز است که بارهای سطحی بر روی آن اعمال می‌شوند و e_n بردار یکه عمود بر مرز بوده و به سمت خارج آن است. همچنین Γ_u بخشی از مرز که تغییر مکان مشخص دارند و $=\bar{u}$ و $\neq \bar{u}$ به ترتیب نشانگر شرایط مرزی همگن و غیرهمگن هستند. بعد از محاسبه شکل ضعیف^{۱۸} معادله، دامنه مسئله گسترش‌سازی می‌شود. در روش هم‌هندرسی فضای تحلیل دارای سه زیر فضای شامل فضای فیزیکی^{۱۹}، پارامتری^{۲۰} و مرجع^{۲۱} است. فضای فیزیکی همان فضای واقعی است که مسئله در آن تعریف می‌شود. فضای پارامتری فضایی است که برای تعریف و کنترل هندسه در فضای فیزیکی به کار می‌رود. این فضای به عنوان یک واسطه بین تعریف ریاضی و نمایش فیزیکی عمل می‌کند. فضای پارامتری برای توابع دوبعدی عموماً به صورت مستطیلی و در

مفهوم جزء برای تقسیم دامنه مسئله به بخش‌های کوچک‌تر استفاده می‌کنند و در هر جزء توابع پایه برای تقریب میدان‌های حل استفاده می‌شود. در ادامه مراحل حل معادلات حاکم بر مسئله تنش صفحه‌ای در چارچوب روش هم‌هندرسی بیان می‌گردد. رابطه حاکم بر یک مسئله کشسان دوبعدی توسط رابطه‌های تعادل، سینماتیک و ساختاری بدست می‌آید. برای حل مسئله، شرایط مرزی نیرو و تغییر مکان در نظر گرفته می‌شود. شکل قوی^{۱۷} یک مسئله کشسان خطی دوبعدی و شرایط مرزی مرتبط با دامنه Ω و مرز Γ با رابطه‌های (۲۶) تا (۲۸) بیان می‌گردند [۱].

$$\nabla \sigma + b = 0 \quad \text{in } \Omega \quad (26)$$

$$\sigma e_n = \bar{t} \quad \text{on } \Gamma_t \quad (27)$$

$$u = \bar{u} \quad \text{on } \Gamma_u \quad (28)$$



شکل ۲- نگاشت بین فضاهای در تحلیل هم‌هندسی، الف- فضای هندسی، ب- فضای پارامتری و ج- جزء مرجع.

که در آن x_i و y_i مختصات و n_{cp} تعداد نقاط کنترلی می‌باشند. کمیت‌های میدان حل در نقاط کنترلی، متغیرهای کنترلی نامیده می‌شوند که در این مسئله تغییرمکان است. متغیرهای کنترلی را می‌توان به صورت برداری نمایش داد.

$$\mathbf{d} = (d_{1,1}^x, d_{1,1}^y, d_{2,1}^x, d_{2,1}^y, \dots, d_{n,m}^y)^T \quad (30)$$

با استفاده از متغیرهای کنترلی و با ترکیبی خطی از توابع پایه نزیر می‌توان کمیت‌های میدان حل در بقیه نقاط را بدست آورد.

$$U(\xi, \eta) = \begin{Bmatrix} u \\ v \end{Bmatrix} = \sum_{i=1}^{n_{cp}} R_i(\xi, \eta) \mathbf{d} \quad (31)$$

ماتریس R نیز از توابع پایه نزیر بدست می‌آید و به صورت رابطه (۳۶) می‌تواند نوشته شود.

$$R = \begin{bmatrix} R_{1,1} & \dots & R_{2,1} & \dots & \dots & R_{n,m} & \dots \\ \dots & R_{1,1} & \dots & R_{2,1} & \dots & \dots & R_{n,m} \end{bmatrix} \quad (36)$$

با مشخص بودن تغییرمکان‌ها، می‌توان کرنش‌ها را از رابطه (۳۲) محاسبه کرد.

$$\boldsymbol{\varepsilon} = \begin{bmatrix} \varepsilon_{xx} \\ \varepsilon_{yy} \\ \gamma_{xy} \end{bmatrix} = \mathbf{B} \mathbf{d} \quad (32)$$

باشه [۱۰] تعریف می‌گردد. فضای مرجع نیز مشابه اجزای محدود برای انگرال‌گیری عددی به کار می‌رود. در اینجا دامنه Ω با مرز Γ در فضای فیزیکی، دامنه $\bar{\Omega}$ در فضای پارامتری و دامنه $\hat{\Omega}$ در فضای مرجع در نظر گرفته می‌شود. هر نقطه در فضای پارامتری به کمک تبدیل $\Omega \rightarrow \bar{\Omega}$: x به نقطه‌ای متناظر در فضای فیزیکی نگاشت می‌شود. شکل ۲ فضاهای مختلف و نگاشت بین آنها را در تحلیل هم‌هندسی نشان می‌دهد. در روش هم‌هندسی نقاط دامنه درونیاب نیستند و ممکن است درون دامنه قرار نگیرند در حالی که روش اجزای محدود نقاط گرهی درونیاب بوده و جزئی از دامنه جزء هستند؛ بنابراین دو مفهوم شبکه کنترلی حاصل از نقاط کنترلی و شبکه فیزیکی حاصل از گسیسته‌سازی هندسه واقعی مسئله، مطرح است. به دلیل غیردرونیاب بودن توابع پایه، شبکه کنترلی که از نقاط کنترلی می‌گذرد لزوماً بر هندسه واقعی منطبق نیستند و بیشتر مانند چارچوبی هندسه را کنترل می‌کنند.

پس از گسیسته‌سازی، هندسه با استفاده از رابطه (۲۹) تقریب زده می‌شوند [۱].

$$\begin{Bmatrix} X \\ Y \end{Bmatrix} = \sum_{i=1}^{n_{cp}} R_i(\xi, \eta) \begin{Bmatrix} x_i \\ y_i \end{Bmatrix} \quad (29)$$

به فضای فیزیکی انجام پذیرد. ماتریس ژاکوبین برای نگاشت ذکر شده عبارت است از [۱]:

$$J_S = \begin{bmatrix} \frac{\partial x}{\partial \xi} & \frac{\partial y}{\partial \xi} \\ \frac{\partial x}{\partial \eta} & \frac{\partial y}{\partial \eta} \end{bmatrix} \quad (39)$$

برای انتگرال‌گیری عددی روی هر جزء در ابتدا باید جزء فیزیکی با استفاده از یک نگاشت به فضای پارامتری و سپس با نگاشتی دیگر به فضای مرجع منتقل شود. رابطه ژاکوبین کل در تحلیل هم‌هندسی به صورت زیر تعریف می‌شود.

$$J = J_R J_S = \begin{bmatrix} \frac{\partial \xi}{\partial s} & \frac{\partial \eta}{\partial s} \\ \frac{\partial \xi}{\partial t} & \frac{\partial \eta}{\partial t} \end{bmatrix} \begin{bmatrix} \frac{\partial x}{\partial \xi} & \frac{\partial y}{\partial \xi} \\ \frac{\partial x}{\partial \eta} & \frac{\partial y}{\partial \eta} \end{bmatrix} \quad (40)$$

در نتیجه ماتریس سختی را می‌توان به صورت رابطه (۴۱) بیان کرد.

$$K = \int_{\Omega} B^T D B d\Omega = \int_{-1-1}^1 \int_{-1-1} B^T D B |J| ds dt = \sum_{i=1}^{n_{gp}} B_i^T D B_i |J_i| W_i \quad (41)$$

که در آن n_{gp} تعداد نقاط گوس است که بستگی به درجه تابع نزیب دارد و W_i وزن‌های مرتبط با نقاط گوسی می‌باشند. ماتریس نیرو نیز به صورت زیر بازنویسی می‌شود.

$$F = \int_{\Omega} R^T b d\Omega + \int_{\Gamma_t} R^T \bar{t} d\Gamma = F_{\Omega} + F_{\Gamma} \quad (42)$$

بردار نیرو از دو بخش تشکیل می‌شود. بخش اول مربوط به بارهای حجمی است که به صورت رابطه زیر بیان می‌گردد.

$$F_{\Omega} = \int_{\Omega} R^T R b d\Omega = \int_{-1-1}^1 \int_{-1-1} R^T R b |J| ds dt \quad (43)$$

$$= \sum_{i=1}^{n_{gp}} R_i^T R_i b |J_i| W_i$$

بخش دوم مربوط به بارهای سطحی است که در بخش بعدی به تفصیل در مورد نحوه محاسبه آن توضیح داده می‌شود. برای مسائل تنش‌صفحه‌ای، ماتریس رابط تنش-کرنش طبق رابطه (۴۴) محاسبه می‌گردد.

که در آن: $B = LR \quad (33)$

در رابطه قبل، L عملگر دیفرانسیلی است که در حالت دو بعدی با رابطه (۳۴) بیان می‌گردد.

$$L = \begin{bmatrix} \frac{\partial}{\partial x} & \cdot \\ \cdot & \frac{\partial}{\partial y} \\ \frac{\partial}{\partial y} & \frac{\partial}{\partial x} \end{bmatrix} \quad (34)$$

گام بعد، انتگرال‌گیری شکل ضعیف بر روی دامنه گسسته‌سازی شده و استخراج معادله جبری برای بدست آوردن مجہولات در نقاط گرهی است. با استفاده از کار مجازی و ساده‌سازی، رابطه زیر بدست می‌آید [۱].

$$\int_{\Omega} B^T D B d\Omega - \int_{\Omega} R^T b d\Omega - \int_{\Gamma_t} R^T \bar{t} d\Gamma = 0 \quad (35)$$

به منظور محاسبه ماتریس‌های سختی و نیرو باید مقدار انتگرال با استفاده از روش گوس تقریب زده شود. برای این کار فضای پارامتری به فضای مرجع نگاشت می‌شود. فرض می‌گردد بردارهای گرهی به صورت $\Xi = [\xi_1, \xi_2, \dots, \xi_{n+p+1}]$ و $\eta = [\eta_1, \eta_2, \dots, \eta_{m+q+1}]$ باشند. نگاشت از فضای پارامتری به فضای مرجع به صورت زیر است.

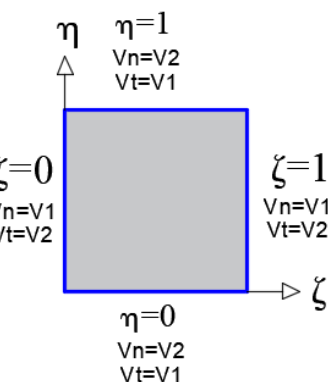
$$\xi = \frac{s}{2} (\xi_2 - \xi_1) + \frac{1}{2} (\xi_1 + \xi_2) \quad (36)$$

$$\eta = \frac{t}{2} (\eta_2 - \eta_1) + \frac{1}{2} (\eta_1 + \eta_2) \quad (37)$$

در این رابطه‌ها، s و t مختصات نقاط در فضای مرجع هستند. ماتریس ژاکوبین 22 بین فضای مرجع و پارامتری به صورت زیر بیان می‌گردد.

$$J_R = \begin{bmatrix} \frac{\partial \xi}{\partial s} & \frac{\partial \eta}{\partial s} \\ \frac{\partial \xi}{\partial t} & \frac{\partial \eta}{\partial t} \end{bmatrix} = \begin{bmatrix} \frac{1}{2} (\xi_2 - \xi_1) & \cdot \\ \cdot & \frac{1}{2} (\eta_2 - \eta_1) \end{bmatrix} \quad (38)$$

توابع شکل، عبارت‌های صریح نسبت به η و ξ می‌باشند در صورتی که برای محاسبه ماتریس B لازم است مشتق نسبت به x و y محاسبه گردد. از این رو، باید نگاشت از فضای پارامتری



شکل ۳- مختصه ثابت پارامتری و بردارهای قائم و مماس بر روی هر مرز در فضای پارامتری.

پارامتری متناسب با مرز مورد نظر، توابع شکل با استفاده از رابطه (۹) محاسبه می‌شوند. مقدار پارامتر ثابت در هر مرز با توجه به شکل ۳ مشخص می‌گردد. با استفاده از این توابع می‌توان نقاط کنترلی مرز را به صورت یک منحنی نزیر تعريف کرد. همچنین با هدف امکان اعمال بار با شدت متغیر و ساده بودن رابطه‌سازی، تابع بار اعمالی به وسیله توابع یک متغیره مرز تقریب زده می‌شود. بنابراین رابطه (۴۲) به صورت زیر بازنویسی می‌شود.

$$\begin{aligned} F_{\Gamma} &= \int_{\Gamma} R^T R \bar{t} d\Gamma = \int_{-1}^1 R^T R \bar{t} |J_i| |J_i| dr \\ &= \sum_{i=1}^{n_{gp}} R_i^T R_i \bar{t} |J_{i,i}| |J_{i,i}| W_i \end{aligned} \quad (46)$$

در رابطه بالا انتگرال به وسیله روش عددی گوس تقریب زده می‌شود بنابراین مقدار توابع پایه در هر نقطه گوسی باید محاسبه شود. در ادامه نحوه محاسبه متغیرهای رابطه (۴۶) بیان می‌گردد. قابل توجه است که در تحلیل هم‌هندسی فضای هندسی بر روی فضای پارامتری نگاشت می‌شود و هر مرز فضای هندسی با مرزی در فضای پارامتری متناظر است. بر روی هر یک از مرزهای هندسی دو بردار محلی تعريف می‌شود که مطابق رابطه (۴۷) بدست می‌آیند [۲۶].

$$\begin{Bmatrix} V_i \\ V_j \end{Bmatrix} = \begin{Bmatrix} \partial X / \partial \xi & \partial Y / \partial \xi \\ \partial X / \partial \eta & \partial Y / \partial \eta \end{Bmatrix} \begin{Bmatrix} i \\ j \end{Bmatrix} \quad (47)$$

بردارهای بدست آمده از رابطه (۴۷) به صورت مماس و قائم بر مرز می‌باشند. شکل ۳ بردار قائم و مماس بر روی هر مرز در

$$D = \frac{E}{1-v^2} \begin{bmatrix} 1 & v & 0 \\ v & 1 & 0 \\ 0 & 0 & \frac{1-v}{2} \end{bmatrix} \quad (44)$$

در این رابطه، E ضریب کشسانی و v نسبت پواسون است. در نهایت می‌توان رابطه را به شکل ماتریسی نوشت که عبارت است از:

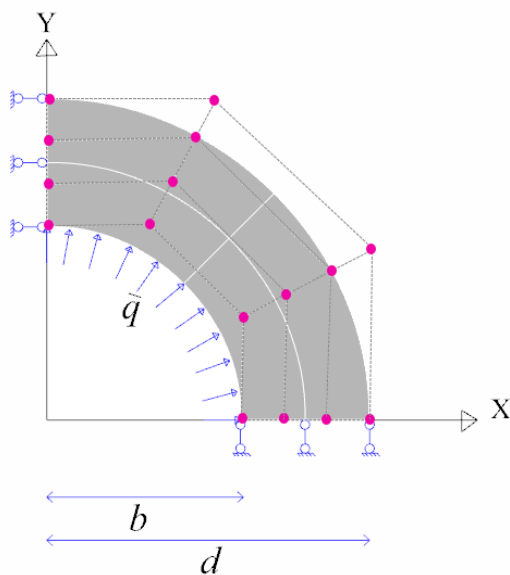
$$[K]\{d\} = \{F\} \quad (45)$$

که در آن $[K]$ ماتریس سختی، $\{F\}$ بردار نیروها و $\{d\}$ بردار تغییر مکان‌ها است. همانند روش اجزای محدود، می‌توان دستگاه معادلات فوق را با اعمال شرایط مرزی حل نمود و مقدار تغییر مکان را در نقاط کنترلی محاسبه نمود.

۷- روش اعمال بار گستردہ

با توجه به این که در هندسه‌های دارای انحنا نقاط کنترلی بر روی سطح قرار نمی‌گیرند، بنابراین توزیع بارها بین این نقاط دارای ابهام است. در این بخش به ارائه روشی برای اعمال بار گستردہ در سطوح دارای انحنا پرداخته می‌شود.

به منظور بدست آوردن بار سطحی در هر نقطه کنترلی از بخش اول رابطه (۴۲) استفاده می‌گردد. این انتگرال بر روی مرزی که تحت بارگذاری است، محاسبه می‌شود و توابع پایه در این رابطه به صورت یک متغیره تعريف می‌گردد. با ثابت قرار دادن یکی از مختصه‌های



شکل ۴- مسئله یک چهارم حلقه تحت فشار داخلی.

$$e_n = \frac{V_n}{|V_n|} \quad (52)$$

فضای پارامتری را نشان می‌دهد که به ترتیب با V_n و V_t نشان داده شده‌اند.

در رابطه (۴۷) مختصات هندسی هر نقطه مطابق رابطه (۳۳) محاسبه می‌گردد. رابطه (۴۷) دارای دو مقدار برای ژاکوبین است، بخش اول (J_1) مربوط به نگاشت بین فضای فیزیکی و پارامتری و بخش دوم (J_2) مربوط به نگاشت فضای پارامتری و جزء مرجع است. مقدار J_1 برابر با بردار مماس بر سطح است.

$$J_1 = V_t \quad (48)$$

مقدار J_2 نیز از رابطه (۴۹) محاسبه می‌گردد که ξ_1 و ξ_2 مختصات نقاط گوشی جزء در فضای پارامتری می‌باشند.

$$J_2 = \frac{\partial \xi}{\partial s} = \frac{1}{2} (\xi_2 - \xi_1) \quad (49)$$

همچنین \bar{t} بیان‌کننده حالت توزیع بار روی مرز است که برای حالت فشار عمود بر سطح و بار قائم به ترتیب با رابطه‌های (۵۰) و (۵۱) بدست می‌آید [۲۶].

$$\bar{t} = q e_n = q \begin{Bmatrix} l_n \\ m_n \end{Bmatrix} \quad (50)$$

$$\bar{t} = q \begin{Bmatrix} 0 \\ 1 \end{Bmatrix} \quad (51)$$

در رابطه (۵۰) مقدار e_n بردار یکه عمود بر مرز بوده و به صورت زیر محاسبه می‌گردد.

۸- مثال‌های عددی

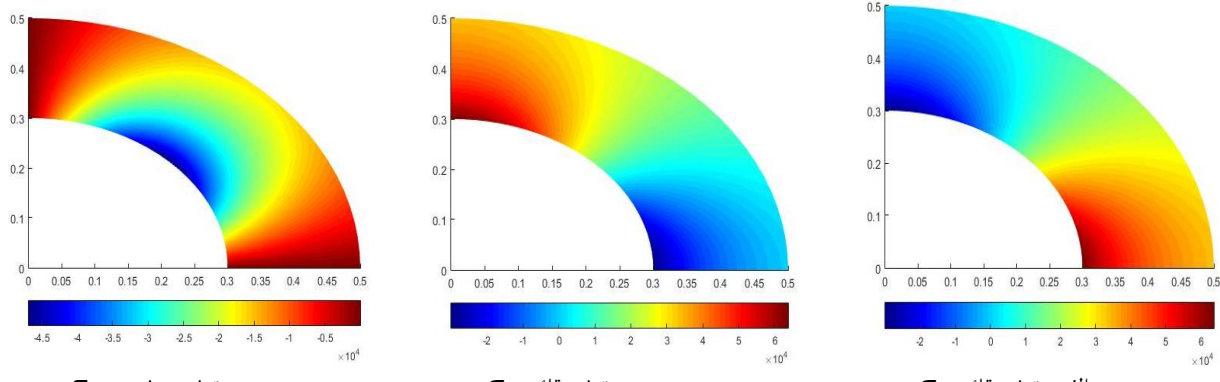
در این بخش به منظور بررسی روش پیشنهادی سه مثال عددی با بارگذاری متفاوت ارائه می‌گردد. در این مثال‌ها ضریب کشسانی $E = 3 \times 10^7 \text{ kN/m}^2$ ، ضریب پواسون $\nu = 0.25$ و شدت بار وارد مقدار $\bar{q} = 3 \times 10^3 \text{ kN/m}^2$ در نظر گرفته شده است. مقادیر ابعادی نیز به صورت $a = 1 \text{ m}$, $b = 0.3 \text{ m}$, $c = 0.4 \text{ m}$, $d = 0.5 \text{ m}$, $e = 0.6 \text{ m}$ و $f = 2 \text{ m}$ هستند.

۸-۱- مسئله یک چهارم حلقه تحت فشار داخلی q

به منظور صحبت‌سنجی روش ارائه شده، مسئله یک چهارم حلقه تحت فشار داخلی مورد بررسی قرار می‌گیرد. هندسه مسئله با استفاده از توابع نریز مرتبه سه مدل گردیده است. بردارهای گرهی اولیه مسئله به صورت تکیه‌گاهی و نحوه بارگذاری در شکل ۴ نشان داده شده است.

جدول ۱- مقایسه نتایج روش ارائه شده با نتایج دقیق مسئله یکچهارم حلقه تحت فشار داخلی.

خطا نسبی (%)	مقدار دقیق (mm)	روش ارائه شده (mm)	شعاع نقطه کنترلی (mm)
۰/۰۷۰	۰/۷۱۳۰	۰/۷۱۲۵	۳۰۰
۰/۰۹۶	۰/۶۲۰۰	۰/۶۱۹۴	۳۸۳
۰/۱۸۰	۰/۵۹۸۰	۰/۵۹۶۹	۴۱۶
۰/۱۶۰	۰/۵۶۸۰	۰/۵۶۷۱	۴۸۳
۰/۱۰۰	۰/۵۶۳۰	۰/۵۶۲۴	۵۰۰



شکل ۵- توزیع تنش در مسئله یکچهارم حلقه تحت فشار یکنواخت داخلی.

مسئله در دو لبه دارای شرایط تکیه‌گاهی غلتکی است. پاسخ دقیق بیان گردیده است. هندسه مسئله، بارگذاری و شرایط تکیه‌گاهی در شکل ۶ نشان داده شده است.

همان طور که در شکل مشاهده می‌شود بار قائم یکنواخت در لبه بالایی وارد گردیده است. همچنین در دو لبه دارای تکیه‌گاه مفصلی است، با توجه به این که جواب دقیق این مسئله در دسترس نیست، نتایج با تحلیل اجزای محدود توسط نرم‌افزار آباکوس مقایسه شده است. در جدول ۲ تغییر مکان قائم در تعدادی از نقاط دامنه با مقدار بدست آمده از نرم‌افزار مقایسه گردیده است و با توجه به مقدار خطای کم، نشان از دقت بالای نتایج دارد. حداقل تغییر مکان روش پیشنهادی $0/5934$ میلی‌متر و مقدار بدست آمده از نرم‌افزار آباکوس $0/594$ میلی‌متر است.

همچنین شکل ۷ توزیع مولفه‌های تنش در دامنه را نشان می‌دهد.

مسئله در دو لبه دارای شرایط تکیه‌گاهی غلتکی است. پاسخ دقیق تغییر مکان شعاعی مسئله به صورت رابطه [۵۳] است [۲۷].

$$u_r(r) = \frac{a^{\gamma} qr}{E(b^{\gamma} - a^{\gamma})} \left\{ 1 - v + \frac{b^{\gamma}}{r^{\gamma}} (1+v) \right\}; \quad u_{\phi} = 0 \quad (53)$$

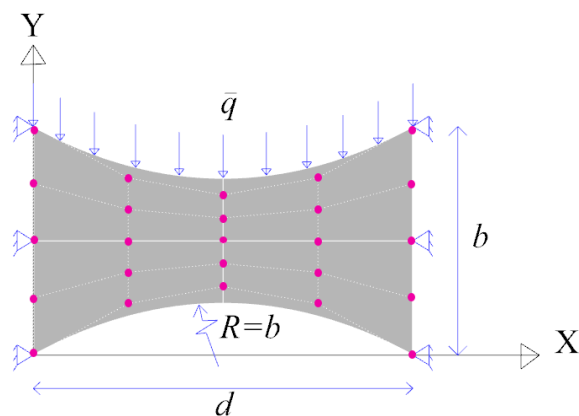
نتایج روش پیشنهادی در تعدادی از نقاط دامنه با جواب دقیق در جدول ۱ مقایسه گردیده است که به پاسخ دقیق بسیار نزدیک هستند. شکل ۵ نحوه توزیع مولفه‌های مختلف تنش در دامنه برای بارگذاری تحت فشار یکنواخت داخلی را نشان می‌دهد.

۲-۸- مسئله سطح متقارن تحت بار قائم یکنواخت q

در این مثال و مثال بعد، به منظور بهره بردن از قابلیت مدل‌سازی نرم‌افزار راینو، مدل اولیه در این نرم‌افزار ایجاد شده و پس از بهبودسازی، اطلاعات هندسی شامل مختصات نقاط کنترلی، وزن‌ها و توابع پایه جهت تحلیل عددی به نرم‌افزار مطلب وارد

جدول ۲- مختصات نقاط کنترل و وزن‌های مسئله سطح متقارن تحت بار قائم یکنواخت.

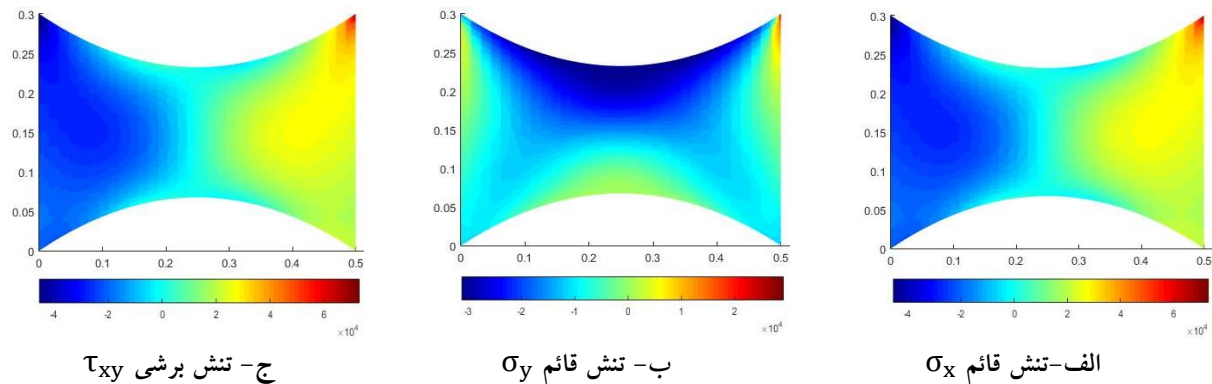
نقطه کنترلی	X	Y	w	نقطه کنترلی	X	Y	w
۱	۰/۰۰۰	۰/۰۰۰	۱	۱۴	۰/۴۱۷	۰/۱۵۰	۱
۲	۰/۰۸۳	۰/۰۴۵	۱	۱۵	۰/۵۰۰	۰/۱۵۰	۱
۳	۰/۲۵۰	۰/۰۹۰	۱	۱۶	۰/۰۰۰	۰/۲۵۰	۱
۴	۰/۴۱۷	۰/۰۴۵	۱	۱۷	۰/۰۸۳	۰/۲۲۰	۱
۵	۰/۵۰۰	۰/۰۰۰	۱	۱۸	۰/۲۵۰	۰/۱۹۰	۱
۶	۰/۰۰۰	۰/۰۴۵	۱	۱۹	۰/۴۱۷	۰/۲۲۰	۱
۷	۰/۰۸۳	۰/۰۸۰	۱	۲۰	۰/۵۰۰	۰/۲۵۰	۱
۸	۰/۲۵۰	۰/۱۱۰	۱	۲۱	۰/۰۰۰	۰/۳۰۰	۱
۹	۰/۴۱۷	۰/۰۸۰	۱	۲۲	۰/۰۸۳	۰/۲۵۵	۱
۱۰	۰/۵۰۰	۰/۰۵۰	۱	۲۳	۰/۲۵۰	۰/۲۱۰	۱
۱۱	۰/۰۰۰	۰/۱۵۰	۱	۲۴	۰/۴۱۷	۰/۲۵۵	۱
۱۲	۰/۰۸۳	۰/۱۵۰	۱	۲۵	۰/۵۰۰	۰/۳۰۰	۱
۱۳	۰/۲۵۰	۰/۱۵۰	۱				



شکل ۶- مسئله سطح متقارن تحت بار قائم یکنواخت.

جدول ۳- مقایسه نتایج روش ارائه شده با نتایج دقیق طبق بارگذاری قائم غیریکنواخت مرز خارجی.

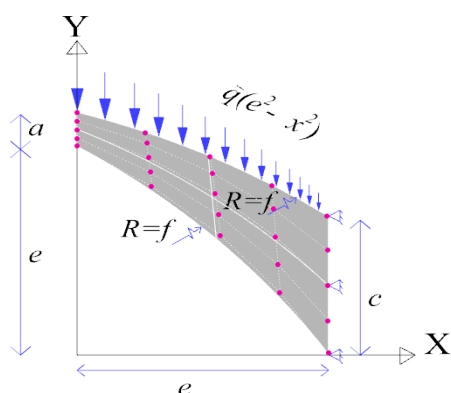
مختصات نقاط (mm)	روش ارائه شده (mm)	مقدار بدست آمده از نرمافزار (mm)	خط نسبی (%)
(۱۱۷, ۲۵۱)	-۰/۳۷۲	-۰/۳۷۷	۱/۳۲
(۲۱۰, ۲۳۴)	-۰/۵۷۱	-۰/۵۸۰	۱/۵۵
(۳۰۴, ۲۳۵)	-۰/۵۵۰	-۰/۵۵۹	۱/۶۱
(۴۱۴, ۲۶۱)	-۰/۲۸۵	-۰/۲۸۹	۱/۴۰
(۲۵۰, ۱۵۰)	-۰/۵۳۹	-۰/۵۴۲	۰/۵۵



شکل ۷- توزیع تنش در مسئله سطح متقارن تحت بار قائم غیریکنواخت.

جدول ۴- مختصات نقاط کنترل و وزن‌های مسئله سطح برش خورده تحت بار قائم غیریکنواخت.

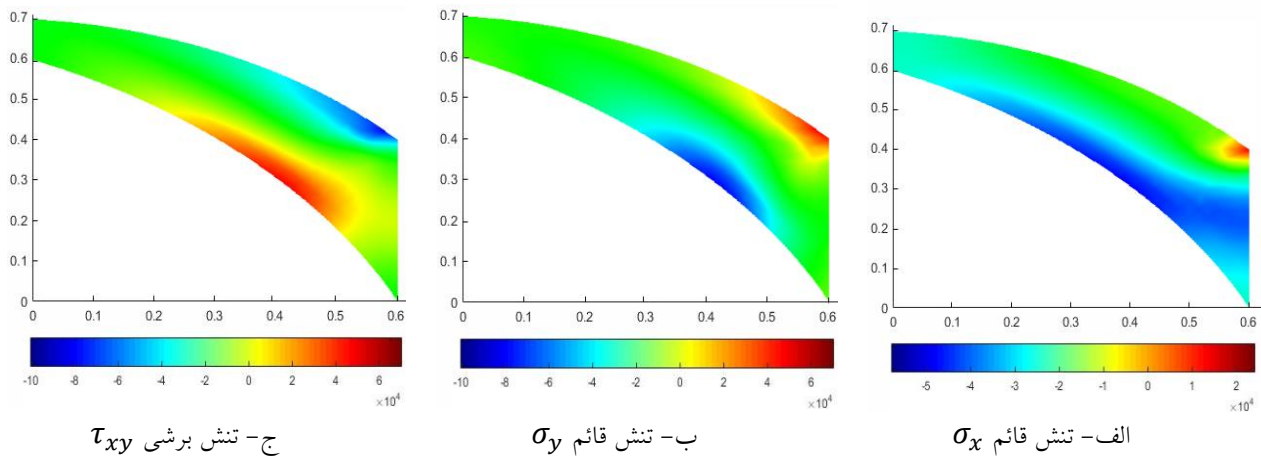
نقطه کنترلی	X	Y	w	نقطه کنترلی	X	Y	w
۱	۰/۶۰۰	۰/۰۰۰	۱	۱۴	۰/۳۰۹	۰/۵۳۳	۱
۲	۰/۵۴۰	۰/۱۳۲	۱	۱۵	۰/۲۰۰	۰/۶۰۰	۱
۳	۰/۳۷۲	۰/۳۷۳	۱	۱۶	۰/۶۸۳	۰/۰۰۰	۱
۴	۰/۱۳۲	۰/۵۴۱	۱	۱۷	۰/۶۶۷	۰/۱۱۷	۱
۵	۰/۰۰۰	۰/۶۰۰	۱	۱۸	۰/۵۸۵	۰/۳۴۴	۱
۶	۰/۶۱۶	۰/۰۰۰	۱	۱۹	۰/۴۲۷	۰/۵۲۷	۱
۷	۰/۵۶۵	۰/۱۲۹	۱	۲۰	۰/۳۳۴	۰/۶۰۰	۱
۸	۰/۴۲۵	۰/۳۶۷	۱	۲۱	۰/۷۰۰	۰/۰۰۰	۱
۹	۰/۱۹۱	۰/۰۳۸	۱	۲۲	۰/۶۹۱	۰/۱۱۴	۱
۱۰	۰/۰۶۷	۰/۶۰۰	۱	۲۳	۰/۶۲۷	۰/۳۳۹	۱
۱۱	۰/۶۵۰	۰/۰۰۰	۱	۲۴	۰/۴۸۶	۰/۵۲۴	۱
۱۲	۰/۶۱۶	۰/۱۲۳	۱	۲۵	۰/۴۰۰	۰/۶۰۰	۱
۱۳	۰/۵۰۰	۰/۳۵۶	۱				



شکل ۸- مسئله سطح برش خورده تحت بار قائم غیریکنواخت.

جدول ۵- مقایسه نتایج روش ارائه شده با نتایج دقیق طبق بارگذاری قائم غیریکنواخت مرز خارجی.

خطا نسبی (%)	مقدار بدست آمده از نرم افزار (mm)	روش ارائه شده (mm)	مختصات نقاط (mm)
۱/۲۶	-۹/۵۲	-۹/۴۰	(۰,۷۰۰)
۱/۳۰	-۹/۹۳	-۶/۸۴	(۱۱۶,۶۸۰)
۱/۵۵	-۵/۱۵	-۵/۰۷	(۱۹۹,۶۶۰)
۳/۴۰	-۳/۲۳	-۳/۱۲	(۳۰۰,۶۲۱)
۴/۶۵	-۰/۴۳	-۰/۴۱	(۴۹۹,۴۹۷)



شکل ۹- توزیع تنش در مسئله سطح برش خورده تحت بار قائم غیریکنواخت.

-۳-۸ مسئله سطح برش خورده^{۲۳} تحت بار قائم
غیر یکنواخت

در آخرین مثال به منظور بررسی تاثیر حالت بار بر نتایج، مسئله سطح برش خورده تحت بار قائم غیریکنواخت تحلیل می شود. هندسه مسئله با استفاده از توابع نریز مرتبه سه در نرم افزار راینو مدل گردیده است. مختصات نقاط کنترلی و وزن های اولیه در جدول ۴ آورده شده است. شکل هندسی مسئله، نحوه اعمال بار و شرایط تکیه گاهی در شکل ۸ نشان داده شده است. همان طور که مشاهده می شود بار غیریکنواخت که تابعی از مختصه طولی است به لبه بالایی وارد گردیده است. همچنین لبه سمت راست داری شرایط تکیه گاهی مفصلی است. مقدار تغییر مکان قائم برای تعدادی از نقاط دامنه در جدول ۵ آمده است و با نتایج نرم افزار آباکوس مقایسه شده است. نحوه توزیع مولفه های تنش در شکل ۹ نشان داده شده است. حداکثر جایه جایی قائم روش پیشنهادی،

شکل ۹ توزیع مولفه‌های مختلف تنش تحت بارگذاری قائم غیر یکنواخت را نشان می‌دهد.

- ۹ نتیجہ گیری

در پژوهش حاضر، روشی کارآمد به منظور اعمال بار گستردگی بر سطوح دارای انحنا در تحلیل هم‌هندسی ارائه گردید. در این روش با ثابت در نظر گرفتن مختصه پارامتری در مرز بارگذاری شده، توابع پایه نریز برای هر نقطه انتگرالی بدست می‌آید. با محاسبه بردارهای مماسی و قائم در هر نقطه از مرز و با استفاده از رابطه‌های ارائه شده برای حالات بارگذاری می‌توان سهم نیرو در هر نقطه کنترلی را بدست آورد. همچنین در این پژوهش نحوه استفاده از مدل‌های ساخته شده در نرم‌افزار راینو در تحلیل هم‌هندسی تشریح شد. این موضوع توانایی تحلیل هندسه‌های

دقیق ۱۸٪ درصد است. همچنین، شکل توزیع مولفه‌های مختلف تنش با نتایج نرم‌افزار دارای انطباق کامل است. نتایج عددی بدست آمده دقت بالا و کارآیی روش پیشنهادی را نشان می‌دهند.

پیچیده که امکان مدل‌سازی آن‌ها به راحتی میسر نیست را فراهم می‌کند. به منظور صحت سنجی روش پیشنهادی سه مثال عددی تحت بارگذاری‌های مختلف مورد بررسی قرار گرفت. حداکثر میزان خطای نسبی تغییر مکان قائم بدست آمده در قیاس با پاسخ

واژه‌نامه

1. Isogeometric	9. knot vector	17. strong form
2. Finite element method	10. non-negative	18. weak form
3. Computer-Aided Design (CAD)	11. partition of unity	19. physical
4. Abaqus	12. knot insertion	20. parametric
5. Bézier extraction	13. Rhinoceros	21. parent
6. control points	14. solver	22. Jacobian
7. Bernstein	15. plugin	23. trimmed surface
8. local control	16. Bézier decomposition	

References

- Hughes, T. J., Cottrell, J. A., and Bazilevs, Y., "Isogeometric Analysis: CAD, Finite Elements, NURBS, Exact Geometry And Mesh Refinement", *Computer Methods in Applied Mechanics and Engineering*, Vol. 194, pp. 4135-4195, 2005.
- Dimitri, R., De Lorenzis, L., Scott, M. A., Wriggers, P., Taylor, R. L., and Zavarise, G., "Isogeometric Large Deformation Frictionless Contact Using T-Splines", *Computer Methods in Applied Mechanics and Engineering*, Vol. 269, pp. 394-414, 2014.
- Scott, M. A., Simpson, R. N., Evans, J. A., Lipton, S., Bordas, S. P., Hughes, T. J., and Sederberg, T. W., "Isogeometric Boundary Element Analysis Using Unstructured T-Splines", *Computer Methods in Applied Mechanics and Engineering*, Vol. 254, pp. 197-221, 2013.
- Buffa, A., Sangalli, G., and Vázquez, R., "Isogeometric Analysis for Electromagnetic Problems", *IEEE Transactions on Magnetics*, Vol. 46, pp. 3305-3308, 2010.
- Lu, J., "Isogeometric Contact Analysis: Geometric Basis and Formulation for Frictionless Contact", *Computer Methods in Applied Mechanics and Engineering*, Vol. 200, pp. 726-741, 2011.
- Gomez, H., Hughes, T. J., Nogueira, X., and Calo, V. M., "Isogeometric Analysis of the Isothermal Navier–Stokes–Korteweg Equations", *Computer Methods in Applied Mechanics and Engineering*, Vol. 199, pp. 1828-1840, 2010.
- Bazilevs, Y., Calo, V. M., Hughes, T. J., and Zhang, Y., "Isogeometric Fluid-Structure Interaction: Theory, Algorithms, and Computations", *Computational Mechanics*, Vol. 43, pp. 3-27, 2008.
- Bazilevs, Y., Calo, V. M., Zhang, Y., and Hughes, T. J., "Isogeometric Fluid–Structure Interaction Analysis with Applications to Arterial Blood Flow", *Computational Mechanics*, Vol. 38, pp. 310-322, 2006.
- Hirschler, T., Bouclier, R., Duval, A., Elguedj, T., and Morlier, J., "The Embedded Isogeometric Kirchhoff–Love Shell: From Design to Shape Optimization of Non-Conforming Stiffened Multipatch Structures", *Computer Methods in Applied Mechanics and Engineering*, Vol. 349, pp. 774-797, 2019.
- Hsu, M. C., Wang, C., Herrema, A. J., Schillinger, D., Ghoshal, A., and Bazilevs, Y., "An Interactive Geometry Modeling and Parametric Design Platform for Isogeometric Analysis", *Computers & Mathematics with Applications*, Vol. 70, pp. 1481-1500, 2015.
- Lai, Y., Zhang, Y. J., Liu, L., Wei, X., Fang, E., and Lua, J., "Integrating CAD with Abaqus: a Practical Isogeometric Analysis Software Platform for Industrial Applications", *Computers & Mathematics with Applications*, Vol. 74, pp. 1648-1660, 2017.
- Lai, Y., Liu, L., Zhang, Y. J., Chen, J., Fang, E., and Lua, J., "Rhino 3D to Abaqus: A T-Spline Based Isogeometric Analysis Software Framework", *Advances in Computational Fluid-Structure Interaction and Flow Simulation: New*

مراجع

- Methods and Challenging Computations*, pp. 271-281, 2016.
13. Li, M., Chen, Y., Zhang, M., Yang, L., Lian, H., Bordas, S. P., and Kong, R., "Platform for Isogeometric Analysis of Complex Hydraulic Structures", *Automation in Construction*, Vol. 152, 2023.
 14. Meng, X., Zhang, L. Y., Zhao, Z. L., and Xie, Y. M., "A Direct Approach to Achieving Efficient Free-Form Shells with Embedded Geometrical Patterns", *Thin-Walled Structures*, Vol. 185, 2023.
 15. Yang, F., Yu, T., Liu, Z., and Bui, T.Q., "Isogeometric Double-Objective Shape Optimization of Free-Form Surface Structures with Kirchhoff-Love Shell Theory", *Finite Elements in Analysis and Design*, Vol. 223, 2023.
 16. Seo, Y. D., Kim, H. J., and Youn, S. K., "Isogeometric Topology Optimization Using Trimmed Spline Surfaces", *Computer Methods in Applied Mechanics and Engineering*, Vol. 199, pp. 3270-3296, 2010.
 17. Bauer, A. M., Breitenberger, M., Philipp, B., Wüchner, R., and Bletzinger, K. U., "Embedded Structural Entities in NURBS-Based Isogeometric Analysis", *Computer Methods in Applied Mechanics and Engineering*, Vol. 325, pp. 198-218, 2017.
 18. Breitenberger, M., Bletzinger, K. U., and Wüchner, R., "Isogeometric Layout Optimization of Shell Structures Using Trimmed NURBS Surfaces", *Proceedings of World Congress on Structural and Multidisciplinary Optimization*, Orlando, pp. 19-24, 2013.
 19. Schmidt, R., Wüchner, R., and Bletzinger, K. U., "Isogeometric Analysis of Trimmed NURBS Geometries", *Computer Methods in Applied Mechanics and Engineering*, Vol. 241, pp. 93-111, 2012.
 20. Salomon, D., *Curves and Surfaces for Computer Graphics*, Springer Science & Business Media, 2007.
 21. Sohel, F. A., Karmakar, G. C., Dooley, L. S., and Arkinstall, J. R., "Quasi-Bezier Curves Integrating Localised Information", *Pattern Recognition*, Vol. 41, pp. 531-554, 2008.
 22. Farin, G. E., *Curves and Surfaces For CAGD: A Practical Guide*, Elsevier, 2002.
 23. Borden, M. J., Scott, M. A., Evans, J. A., and Hughes, T. J., "Isogeometric Finite Element Data Structures Based on Bézier Extraction of NURBS", *International Journal for Numerical Methods in Engineering*, Vol. 87, pp. 15-47, 2011.
 24. Scott, M. A., Borden, M. J., Verhoosel, C. V., Sederberg, T. W., and Hughes, T. J., "Isogeometric Finite Element Data Structures Based on Bézier Extraction of T-Splines", *International Journal for Numerical Methods in Engineering*, Vol. 88, pp. 126-156, 2011.
 25. Vo-Minh, T., Nguyen-Son, L., Nguyen-Van, G., and Thai-Phuong, T., "Upper Bound Limit Analysis of Circular Tunnel in Cohesive-Frictional Soils Using Isogeometric Analysis Based on Bézier Extraction", *Tunnelling and Underground Space Technology*, Vol. 114, 2021.
 26. Krishnamoorthy, C. S., *Finite Element Analysis: Theory and Programming*, Tata McGraw-Hill, 1994.
 27. Timoshenko, S. P., and Goodier, J. N., *Theory of Elasticity*, Vol. 3, McGraw-Hill, New York, 1985.

